

几种常用的目标机动模型

——用于目标跟踪中的运动建模

1. 前言

多数情况下，目标跟踪中所跟踪的目标均是非合作目标，因此首要任务是建立目标的运动模型。为了匹配和表征典型常见的运动形式，学者们提出了多种目标机动模型，主要可划分为白噪声模型和时间相关模型。前者将未知输入建模为白噪声，主要包括常速度（CV）模型、常加速度（CA）模型和多项式模型；后者将未知输入建模为马尔科夫过程，主要有零均值一阶时间相关的 Singer 模型、非零均值一阶时间相关的“当前”统计模型等。本文整理和总结了几种常用的目标机动模型，可结合所掌握的目标运动特性进行尽可能合理的选择，希望能对各位同行有所帮助。

2. 几种常见的目标机动模型

2.1 常速度模型（CV 模型）

假设目标作匀速飞行，可采用如下二阶 CV 模型来表示：

$$\begin{bmatrix} \dot{x} \\ \ddot{x} \end{bmatrix} = \begin{bmatrix} 0 & 1 \\ 0 & 0 \end{bmatrix} \begin{bmatrix} x \\ \dot{x} \end{bmatrix} + \begin{bmatrix} 0 \\ 1 \end{bmatrix} w(t) \quad (1)$$

式中， x 、 \dot{x} 和 \ddot{x} 分别表示目标的位置、速度和加速度分量， $w(t)$ 为零均值白噪声，自相关函数为

$$R_w(\tau) = E[w(t)w(t+\tau)] = S_w \delta(\tau) \quad (2)$$

式中， S_w 为白噪声的功率谱密度， $\delta(\cdot)$ 为狄拉克 δ 函数。式(1)的离散化形式为

$$\begin{bmatrix} x(k+1) \\ \dot{x}(k+1) \end{bmatrix} = \begin{bmatrix} 1 & T \\ 0 & 1 \end{bmatrix} \begin{bmatrix} x(k) \\ \dot{x}(k) \end{bmatrix} + \mathbf{w}_k \quad (3)$$

式中， T 为采样时间， \mathbf{w}_k 为 2×1 维零均值白噪声向量序列，协方差为

$$E[\mathbf{w}_k \mathbf{w}_k^T] = S_w \begin{bmatrix} T^3/3 & T^2/2 \\ T^2/2 & T \end{bmatrix} \quad (4)$$

2.2 常加速度模型（CA 模型）

假设目标作均加速飞行，可采用如下三阶 CA 模型来表示：

$$\begin{bmatrix} \dot{x} \\ \ddot{x} \\ \ddot{x} \end{bmatrix} = \begin{bmatrix} 0 & 1 & 0 \\ 0 & 0 & 1 \\ 0 & 0 & 0 \end{bmatrix} \begin{bmatrix} x \\ \dot{x} \\ \ddot{x} \end{bmatrix} + \begin{bmatrix} 0 \\ 0 \\ 1 \end{bmatrix} w(t) \quad (5)$$

式中， \ddot{x} 为目标的加加速度分量，其余变量定义与式(1)中一致。式(5)的离散化形式为

$$\begin{bmatrix} x(k+1) \\ \dot{x}(k+1) \\ \ddot{x}(k+1) \end{bmatrix} = \begin{bmatrix} 1 & T & T^2/2 \\ 0 & 1 & T \\ 0 & 0 & 1 \end{bmatrix} \begin{bmatrix} x(k) \\ \dot{x}(k) \\ \ddot{x}(k) \end{bmatrix} + \mathbf{w}_k \quad (6)$$

式中， \mathbf{w}_k 为3×1维零均值白噪声向量序列，协方差为

$$E[\mathbf{w}_k \mathbf{w}_k^T] = S_w \begin{bmatrix} T^5/20 & T^4/8 & T^3/6 \\ T^4/8 & T^3/3 & T^2/2 \\ T^3/6 & T^2/2 & T \end{bmatrix} \quad (7)$$

2.3 Singer 模型

与 CV 和 CA 这两种白噪声模型不同，Singer 模型属于一阶时间相关模型，由 Robert A. Singer 于 1970 年提出，其将目标加速度视作均值为零、具有指数自相关的随机过程。目标加速度的自相关函数为

$$R(\tau) = E[a(t)a(t+\tau)] = \sigma_m^2 e^{-\alpha|\tau|} \quad (8)$$

式中， σ_m^2 为目标加速度的方差， α 为目标机动频率，其值越大表明目标机动越剧烈。一般情况下， α 为 Singer 模型中的关键参数，直接关系着匹配目标真实机动的程度，进而影响目标运动状态的估计精度。对于空天飞行器来说，转弯机动 $\alpha=60s$ ，逃逸机动 $\alpha=10-20s$ ，大气扰动 $\alpha=1s$ 。

在 Singer 模型中，假定目标机动加速度的概率密度服从如图 1 所示的均匀分布，由此可得机动加速度的方差 σ_m^2 为

$$\sigma_m^2 = \frac{a_{\max}^2}{3} (1 + 4p_{\max} - p_0) \quad (9)$$

式中， $a_{\max} > 0$ 为目标机动加速度的正上界， p_{\max} 为目标以 a_{\max} 作机动的概率， p_0 为目标机动过程中加速度等于零的概率，而不是目标作匀速运动的概率。Singer 模型假定目标机动加速度的区间为 $[-a_{\max}, a_{\max}]$ ，同时以负下界加速度 $-a_{\max}$ 作机动的概率也为 p_{\max} 。

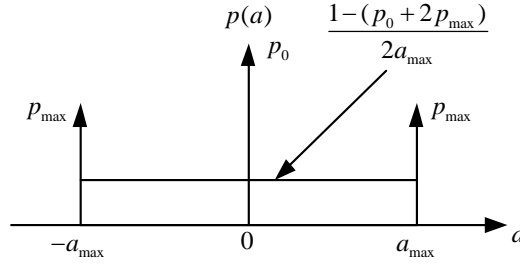


图 1 目标加速度近似均匀分布模型

通过对时间相关函数 $R(\tau)$ 实施 Wiener-Kolmogorov 白化程序后，目标加速度可写成输入为白噪声的一阶时间相关模型，形式为

$$\dot{a}(t) = -\alpha a(t) + w(t) \quad (10)$$

式中， $w(t)$ 为零均值白噪声，自相关函数为

$$R_w(\tau) = E[w(t)w(t+\tau)] = 2\alpha\sigma_m^2\delta(\tau) \quad (11)$$

因此，一维情况下基于 Singer 模型的目标运动方程为

$$\begin{bmatrix} \dot{x} \\ \ddot{x} \\ \ddot{x} \end{bmatrix} = \begin{bmatrix} 0 & 1 & 0 \\ 0 & 0 & 1 \\ 0 & 0 & -\alpha \end{bmatrix} \begin{bmatrix} x \\ \dot{x} \\ \ddot{x} \end{bmatrix} + \begin{bmatrix} 0 \\ 0 \\ 1 \end{bmatrix} w(t) \quad (12)$$

其离散化形式为

$$\begin{bmatrix} x(k+1) \\ \dot{x}(k+1) \\ \ddot{x}(k+1) \end{bmatrix} = \begin{bmatrix} 1 & T & (\alpha T - 1 + e^{-\alpha T}) / \alpha^2 \\ 0 & 1 & (1 - e^{-\alpha T}) / \alpha \\ 0 & 0 & e^{-\alpha T} \end{bmatrix} \begin{bmatrix} x(k) \\ \dot{x}(k) \\ \ddot{x}(k) \end{bmatrix} + \mathbf{w}_k \quad (13)$$

式中， \mathbf{w}_k 为 3×1 维零均值白噪声向量序列，协方差为

$$E[\mathbf{w}_k \mathbf{w}_k^T] = 2\alpha\sigma_m^2 \begin{bmatrix} q_{11} & q_{12} & q_{13} \\ q_{12} & q_{22} & q_{23} \\ q_{13} & q_{23} & q_{33} \end{bmatrix} \quad (14)$$

式中，各元素的表达式为

$$\begin{cases} q_{11} = \frac{1}{2\alpha^5} [1 - e^{-2\alpha T} + 2\alpha T + \frac{2\alpha^3 T^3}{3} - 2\alpha^2 T^2 - 4\alpha T e^{-\alpha T}] \\ q_{12} = \frac{1}{2\alpha^4} [e^{-2\alpha T} + 1 - 2e^{-\alpha T} + 2\alpha T e^{-\alpha T} - 2\alpha T + \alpha^2 T^2] \\ q_{13} = \frac{1}{2\alpha^3} [1 - e^{-2\alpha T} - 2\alpha T e^{-\alpha T}] \\ q_{22} = \frac{1}{2\alpha^3} [4e^{-\alpha T} - 3 - e^{-2\alpha T} + 2\alpha T] \\ q_{23} = \frac{1}{2\alpha^2} [e^{-2\alpha T} + 1 - 2e^{-\alpha T}] \\ q_{33} = \frac{1}{2\alpha} [1 - e^{-2\alpha T}] \end{cases} \quad (15)$$

固定采样时间 T ，当机动频率 α 趋于零时， $\alpha T \rightarrow 0$ ，式(13)退变为式(6)，同时式(14)退变为

$$E[\mathbf{w}_k \mathbf{w}_k^T] = 2\alpha \sigma_m^2 \begin{bmatrix} T^5/20 & T^4/8 & T^3/6 \\ T^4/8 & T^3/3 & T^2/2 \\ T^3/6 & T^2/2 & T \end{bmatrix} \quad (16)$$

与式(7)形式一致。因此，当 α 很小时，Singer 模型退化为 CA 模型。在式(10)中，令 $\alpha=0$ 有 $\dot{a}(t) = w(t)$ ，可更直观地体现。当机动频率 α 趋于无穷时， $\alpha T \rightarrow \infty$ ，式(13)退变为

$$\begin{bmatrix} x(k+1) \\ \dot{x}(k+1) \\ \ddot{x}(k+1) \end{bmatrix} = \begin{bmatrix} 1 & T & 0 \\ 0 & 1 & 0 \\ 0 & 0 & 0 \end{bmatrix} \begin{bmatrix} x(k) \\ \dot{x}(k) \\ \ddot{x}(k) \end{bmatrix} + \mathbf{w}_k \quad (17)$$

此时， \mathbf{w}_k 的协方差为

$$E[\mathbf{w}_k \mathbf{w}_k^T] = \begin{bmatrix} 0 & 0 & 0 \\ 0 & 0 & 0 \\ 0 & 0 & \sigma_m^2 \end{bmatrix} \quad (18)$$

由式(17)和式(18)可看出，目标加速度 $\ddot{x}(k)$ 和噪声序列 \mathbf{w}_k 对目标速度和位置均未任何贡献，此时目标加速度为零，Singer 模型退化为 CV 模型。所以，当 $0 < \alpha < \infty$ 时，Singer 模型对应于 CV 和 CA 之间的运动。由此可知， α 为 Singer 模型中的关键参数。当采样时间固定时，改变 α 即可改变 Singer 模型可表征的机动模式。

2.4 “当前”统计模型

“当前”统计模型由我国学者周宏仁于 1984 年提出，与 Singer 模型不尽相

同，认为目标相邻时刻的加速度不会发生大幅度的跳跃，后时刻加速度值应落在前时刻加速度值的邻域内。于是，在描述目标某时刻加速度的概率密度分布时，未像 Singer 模型一样考虑加速度在整个机动区间内取值的可能性。

该模型中，假定目标当前加速度的概率密度服从修正的瑞利分布。当 $a > 0$ 时，概率密度函数为

$$P_r(a) = \begin{cases} \frac{(a_{\max} - a)}{\mu^2} \exp\left[-\frac{(a_{\max} - a)^2}{2\mu^2}\right] & a < a_{\max} \\ 0 & a \geq a_{\max} \end{cases} \quad (19)$$

式中， a_{\max} 与 Singer 模型中一致， a 为目标当前加速度， μ 为可调参数。于是， a 的均值和方差分别为

$$\begin{cases} E(a) = a_{\max} - \sqrt{\frac{\pi}{2}}\mu \\ \sigma_a^2 = \frac{4-\pi}{2}\mu^2 \end{cases} \quad (20)$$

令 $a_{\max} = 2g_0$ ，则不同 μ 值对应概率分布的函数图像如图 2 所示。

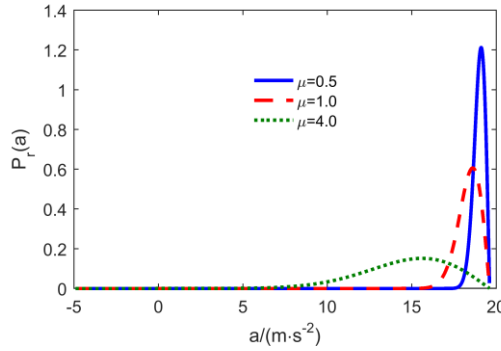


图 2 “当前”统计模型概率密度分布（ $a_{\max} = 2g_0$ ）

当 $a < 0$ 时，概率密度函数为

$$P_r(a) = \begin{cases} \frac{(a - a_{\max})}{\mu^2} \exp\left[-\frac{(a - a_{\max})^2}{2\mu^2}\right] & a > a_{\max} \\ 0 & a \leq a_{\max} \end{cases} \quad (21)$$

式中， $a_{\max} < 0$ 为目标加速度的负下界。类似地， a 的均值和方差分别为

$$\begin{cases} E(a) = a_{\max} + \sqrt{\frac{\pi}{2}}\mu \\ \sigma_a^2 = \frac{4-\pi}{2}\mu^2 \end{cases} \quad (22)$$

当 $a=0$ 时，概率密度函数为

$$P_r(a) = \delta(a) \quad (23)$$

式中， $\delta(\cdot)$ 为狄拉克 δ 函数。

在“当前”统计模型的思想框架下，当目标正以非零加速度实施机动时，采用零均值的 Singer 模型表征目标运动显然不是合理选择，因此利用非零均值的时间相关模型来描述目标当前的加速度，形式为

$$\begin{cases} a(t) = \bar{a} + a_0(t) \\ \dot{a}_0(t) = -\alpha a_0(t) + w(t) \end{cases} \quad (24)$$

式中， \bar{a} 为机动加速度均值，在每个采样区间内认为是常数， $a_0(t)$ 为零均值的 Singer 加速度过程， α 为机动频率， $w(t)$ 为零均值白噪声，自相关函数为

$$R_w(\tau) = E[w(t)w(t+\tau)] = 2\alpha\sigma_a^2\delta(\tau) \quad (25)$$

由式(24)可得，加加速度为

$$\dot{a}(t) = -\alpha a(t) + \alpha \bar{a} + w(t) \quad (26)$$

因此，一维情况下基于“当前”统计模型的目标运动方程为

$$\begin{bmatrix} \dot{x} \\ \ddot{x} \\ \ddot{x} \end{bmatrix} = \begin{bmatrix} 0 & 1 & 0 \\ 0 & 0 & 1 \\ 0 & 0 & -\alpha \end{bmatrix} \begin{bmatrix} x \\ \dot{x} \\ \ddot{x} \end{bmatrix} + \begin{bmatrix} 0 \\ 0 \\ \alpha \end{bmatrix} \bar{a} + \begin{bmatrix} 0 \\ 0 \\ 1 \end{bmatrix} w(t) \quad (27)$$

其离散化形式为

$$\begin{bmatrix} x(k+1) \\ \dot{x}(k+1) \\ \ddot{x}(k+1) \end{bmatrix} = \Phi(k+1, k) \begin{bmatrix} x(k) \\ \dot{x}(k) \\ \ddot{x}(k) \end{bmatrix} + U(k) \bar{a} + w_k \quad (28)$$

式中， $\Phi(k+1, k)$ 的表达式为

$$\Phi(k+1, k) = \begin{bmatrix} 1 & T & (\alpha T - 1 + e^{-\alpha T}) / \alpha^2 \\ 0 & 1 & (1 - e^{-\alpha T}) / \alpha \\ 0 & 0 & e^{-\alpha T} \end{bmatrix} \quad (29)$$

$U(k)$ 的表达式为

$$\mathbf{U}(k) = \begin{bmatrix} T^2/2 \\ T \\ 1 \end{bmatrix} - \begin{bmatrix} (\alpha T - 1 + e^{-\alpha T})/\alpha^2 \\ (1 - e^{-\alpha T})/\alpha \\ e^{-\alpha T} \end{bmatrix} \quad (30)$$

\mathbf{w}_k 为零均值白噪声向量序列，协方差与式(14)一致。

通常情况下，目标加速度的均值 \bar{a} 是难以先验已知的。在实际应用中，可用当前对目标加速度的最优估计值 $\hat{x}(k|k)$ 来近似 \bar{a} ，即

$$\bar{a} = \hat{x}(k|k) \quad (31)$$

当 $\hat{x}(k|k) > 0$ 时，将式(31)代入式(20)可得

$$\sigma_a^2 = \frac{4-\pi}{\pi} [a_{\max} - \hat{x}(k|k)]^2 \quad (32)$$

同理，可得 $\hat{x}(k|k) < 0$ 时目标加速度方差。由此，实现目标加速度方差的自适应。

3. 结束语

本文给出了几种常用的目标机动模型，用于在目标跟踪中对未知的目标运动进行匹配和表征，进而得到目标跟踪模型中的系统状态方程，最终可利用卡尔曼滤波对目标运动状态实施估计，实现对目标的实时跟踪。

如有任何问题或疑问，可随时邮件联系（hjs_nudt@126.com），欢迎交流，欢迎批评指正。